

## شبیه‌سازی کاربرد محفظه احتراق ثانویه موتور توربوفن در خارج از نقطه طراحی\*

سعید جعفری پناه<sup>(۱)</sup>فتح‌اله امی<sup>(۲)</sup>سیدسعید خضرپور<sup>(۳)</sup>

**چکیده** هدف اصلی از انجام پژوهش حاضر تحلیل پارامترهای عملکردی و شبیه‌سازی موتور توربوفن پی دبلو ۶۱۵ اف، در دو حالت با محفظه احتراق ثانویه و بدون آن می‌باشد و برای اعتبارسنجی آن از نرم‌افزار تجاری گس‌ترب و جی‌اس‌پی استفاده شده است. در واقع سیستم پیش‌رانش در تعیین مأموریت و رژیم پروازی وسیله پرنده، اهمیت به‌سزایی دارد. این سیستم، تأمین‌کننده نیروی رانش یک هواپیما می‌باشد. در ابتدا یک موتور توربینی انتخاب و سپس شبیه‌سازی می‌شود که بتواند تراستی معادل ۶۱۳۵ کیلو نیوتن تولید نماید. در ادامه، روشی برای تحلیل عملکرد نقطه طراحی و نقاط خارج از طرح موتورهای توربوفن دوجوره جریان مخلوط‌نشده ارائه شده است؛ همچنین ابزاری براساس روش مقیاس به‌منظور تولید منحنی مشخصه کمپرسور و فن ارائه شده است. به‌منظور مدل‌سازی عملکرد موتور از روش حلقه‌های تودرتو استفاده شده است. عملکرد اجزای موتور با بهره‌گیری از نمودارهای عملکرد، معادلات ترمودینامیکی و دینامیک گازی مدل شده است. باتوجه به این‌که روند مدل‌سازی ریاضی موتورهای دوجوره تاحدودی پیچیده است، در ابتدا روند شبیه‌سازی موتورهای دوجوره ارائه شده است و در ادامه عملکرد یک موتور توربوفن دوجوره جریان مخلوط‌نشده در نقطه طراحی و نقاط خارج از طراحی ارائه شده است و نمودارهای حاصل مورد بررسی قرار گرفته‌اند. نتایج نشان می‌دهد، سیکل‌هایی که از وجود محفظه احتراق ثانویه سود می‌برند به‌طور چشم‌گیری موجب افزایش تراست ویژه، کاهش آلاینده‌های خروجی از محفظه احتراق اصلی و افزایش کار خروجی مخصوص از توربین کم-فشار می‌شوند.

**واژه‌های کلیدی** موتور توربوفن؛ عملکرد نقطه طراحی؛ روش مقیاس؛ عملکرد خارج از نقطه طراحی.

## Simulation of the Secondary Combustion Chamber Application of Turbofan Engine in Off-design Point

S. Jafaripanah

F. Omni

S.S. Khezrpour

**Abstract** The main objective of this study is to analyze the performance parameters and simulation of PW615F turbofan engines both with and without secondary combustion chamber. For validation a commercial software called GasTurb & GSP is used. The purpose of the the propulsion system plays an important role in determining of mission and flight regime of an aircraft In this study, the first choice and then simulate a turbine engine thrust which is equivalent to 6.35 KN produce. And more the method for analyzing on-design and off-design analysis of twin-spool unmixed flow turbofan engines and also we present scaling method to produce the characteristics performance maps of compressor and fans. Mathematical modeling of engine performance has been conducted by serial nested loops algorithm. Performance of components have been modeled by performance diagrams, thermodynamics and gas dynamic equations. Mathematical modeling of a turbofan engine is somewhat complex. Therefore, initially, the off-design performance of a twin spool power generating gas generator and twin spool turbofan are analyzed. Finally, the off-design performance of a twin spool unmixed flow turbofan engine is simulated and the generated performance diagrams have been analyzed. The results show that the cycles that Advantage the secondary combustion chamber dramatically increase the specific thrust, reduce the main secondary combustion chamber outlet emissions and increase the output power of the low pressure turbine.

**Key Words** Turbofan Engines; on-design performance; scaling method; off-design performance

\*تاریخ دریافت مقاله ۹۵/۱۱/۳ و تاریخ پذیرش آن ۹۶/۷/۱۱ می‌باشد. DOI: 10.22067/fum-mech.v29i2.62023

(۱) دانشجوی دکتری، مهندسی هوافضا، دانشگاه تربیت مدرس، تهران.

(۲) نویسنده مسئول: دانشیار، مهندسی هوافضا، دانشگاه تربیت مدرس، تهران. fommi@modares.ac.ir

(۳) کارشناس ارشد، مهندسی هوافضا، دانشگاه تربیت مدرس، تهران.

## مقدمه

در طی سال‌های اخیر دانشمندان و مهندسان در تلاش بوده‌اند تا موتورهایی با راندمان بالا، مصرف سوخت پایین و درعین حال با وزن کمتر طراحی و تولید نمایند. وانگ یانگ هونگ برای مدل‌سازی ریاضی عملکرد توربین‌های گاز شیوه‌ای را تحت عنوان الگوریتم معکوس ابداع نموده است [1]. در سال ۲۰۱۵، توکل پور و همکارانش [2] با به‌کارگیری معادلات پایه در نقطه طرح و حالت پایدار، عملکرد یک موتور توربوجت ویژه را شبیه‌سازی نمودند، که با بهره‌گیری از روش مقیاس پایه و به‌کارگیری روابط راندمان اجزا و با اعمال محدودیت حداقل خطا در شرایط تعادل، به مقایسه تحلیل پارامتریک و غیرپارامتریک می‌پرداخت. کوراکیانیتیس و ویلسن [3] عملکرد انواع موتورهایی را که براساس سیکل برایتون عمل می‌نمایند، مورد بررسی قرار دادند و عملکرد خارج از طرح چند نوع توربین گازی و صنعتی را مدل‌سازی ریاضی نمودند. در این تحقیق راندمان اجزای موتور و دبی جرمی هوای خنک‌کننده پره‌های توربین، به ترتیب به صورت تابعی از نسبت فشار و سطح تکنولوژی خنک‌کاری در نظر گرفته شده‌اند. برای محاسبه افت‌های فشار از روابط تجربی بهره گرفته شده است و جریان‌های ناشی با مقادیر ثابت تخمین زده شده است. راندمان کمپرسور و توربین توابعی از نسبت فشار در نظر گرفته شده‌اند و از روابط تجربی به منظور مدل نمودن آنها استفاده شده است. کورزک و ریگلر [4] با انجام تحلیل‌های آماری بر روی تعداد زیادی از منحنی‌های عملکرد کمپرسور، روشی نوین برای تغییر مقیاس نمودار عملکرد کمپرسور ابداع نمودند که در مقایسه با روش تغییر مقیاس خطی که از اعمال نمودن ضرایب ثابت به نسبت فشار بهره می‌گیرد، کارایی بسیار بهتری از خود نشان می‌دهد.

دومیتروویچ و همکاران [5] یک مدل ریاضی برای

محاسبه عملکرد خارج از طرح یک موتور توربوجت تک‌محور ارائه نمودند. اساس این مدل بر مشخصه‌های معلوم طراحی پایه‌گذاری شده است. آنها از این مدل، برای ارزیابی پارامترهای موتور در پرواز و همچنین پیش‌بینی رفتار موتور و کنترل آن استفاده نمودند. کیم و همکاران [6] مشخصه‌های عملکردی توربین‌های گازی تک‌محور و دومحور را به طور مقایسه‌ای بررسی نمودند که در آنها از پره‌های راهنمای ورودی متغیر، استفاده شده است. آنها عملکرد این توربین‌ها را در سرعت‌های دورانی پایین بررسی کردند و با یکدیگر مقایسه نمودند. آنها همچنین نشان دادند که دمای خروجی موتور که یک پارامتر بحرانی در موتور می‌باشد، با استفاده از پره راهنمای متغیر، قابل کنترل می‌باشد. لی و همکاران [7, 8] با استفاده از روش متینگلی به بررسی مطالعات پارامتریک و عملکرد سیکل موتور توربوفن دومحوره جریان مخلوط‌نشده با محفظه احتراق ثانویه پرداختند. سپس دو حالت را با یکدیگر مقایسه کردند و نتایج را طی مقالاتی ارائه نمودند.

در این قسمت به فعالیت‌هایی پرداخته می‌شود که در زمینه مقیاس نمودن منحنی‌های مشخصه است که در سال‌های اخیر صورت گرفته است.

بسیاری از روش‌هایی که اخیراً به کار گرفته می‌شود؛ مانند: الگوریتم ژنتیک، منطق فازی و... مستلزم آزمون اجزای موتور می‌باشند که به همراه به‌کارگیری روش‌های درون‌یابی و برون‌یابی می‌توان بقیه عملکرد موتور را پیش‌بینی نمود. در پژوهش حاضر به دنبال این روش‌ها نبوده‌ایم، بلکه روش‌های بدون نیاز به هرگونه آزمون عملکردی مورد نظر می‌باشند. روش رایج در مدل‌سازی صفر بعدی روش مقیاس با ضرایب ثابت می‌باشد. در این روش با داشتن پارامترهای اجزای موتور مورد نظر در نقطه طرح، تنها با مقیاس نمودن منحنی‌های عملکردی استاندارد، منحنی عملکردی اجزای موتور مورد نظر حاصل می‌شود.

سانگهی و همکاران [9] با به‌کارگیری معالات پایه در نقطه طرح و حالت پایدار، عملکرد موتور توربوفن خاصی را شبیه‌سازی نمودند که با بهره‌گیری از روش مقیاس پایه و به‌کارگیری روابط راندمان اجزا و با اعمال محدودیت حداقل خطا در شرایط تعادل، در نقطه خارج از طرح مدل‌سازی شد. در سال ۲۰۱۳، گبران [10] یک مدل موتور توربین گاز خورشیدی را ارائه نمود که در آن عملکرد موتور برای شرایط خارج از طرح بررسی می‌شد. مدل مذکور قابلیت بررسی محدوده وسیعی از سیکل‌های مختلف موتور توربینی را دارا می‌باشد. او در ادامه یک روش مقیاس را برای تولید منحنی‌های مشخصه کمپرسور و توربین ارائه نمود و خط عملکرد مربوط به کمپرسور و توربین را ترسیم نمود. در سال ۲۰۱۵، یانگ و همکارانش [11] یک مدل توربین گاز را برای شرایط خارج از طرح مورد بررسی قرار دادند که قابلیت بررسی محدوده وسیعی از سیکل‌های مختلف موتور توربینی را دارا است و یک روش مقیاس، برای تولید منحنی‌های مشخصه کمپرسور و توربین را ارائه نمودند و خط عملکرد مربوط به کمپرسور و توربین را ترسیم کردند و با انجام تحلیل‌های آماری بر روی تعداد زیادی از منحنی‌های عملکرد کمپرسور، روشی نوین برای تغییر مقیاس نمودار عملکرد کمپرسور ابداع نمودند که در مقایسه با روش تغییر مقیاس خطی که از اعمال نمودن ضرایب ثابت به نسبت فشار بهره می‌گیرد، کارایی بسیار بهتری از خود نشان می‌دهد.

در ادامه یکی از جدی‌ترین پیشنهادهایی که در این راستا ارائه شد و مورد قبول بیشتر طراحان قرار گرفت، استفاده از یک محفظه احتراق دیگر تحت عنوان محفظه میان‌مرحله‌ای میان توربین‌های پرفشار و کم‌فشار است که اولین بار در سال ۲۰۰۵ توسط کا هنگ لیو و همکاران در دانشگاه میشیگان مطرح شد [7]. مزیت عمده استفاده از این روش، افزایش تراست ویژه و کاهش مصرف سوخت ویژه می‌باشد که البته

کاهش آلودگی را نیز به‌همراه دارد. از دیگر مزایای این روش اطمینان بیشتر به خاموش نشدن شعله در محفظه احتراق اصلی می‌باشد به این‌صورت که طبقه اضافه‌شده به توربین (محفظه احتراق میان‌مرحله‌ای) مانع از پراکندگی شعله می‌شود و همچنین باعث می‌شود که سوخت در یک محیط با فشار بالاتر بسوزد. در یک راندمان حرارتی ثابت، تراست ویژه با مصرف سوخت ویژه با یکدیگر مرتبط هستند به‌طوری‌که افزایش تراست ویژه منجر به افزایش مصرف سوخت ویژه می‌شود. با این‌وجود موتور توربوفن مجهز به محفظه احتراق میان‌مرحله‌ای عملکرد بهتری در انتخاب‌های طراحی مختلف مانند نسبت فشار کمپرسور، نسبت فشار فن و نسبت جت کنارگذر دارد. علاوه بر این با اضافه نمودن اجزای جدید می‌توان دما و فشار بالاتری را در سیکل موتور توربوفن به‌وجود آورد [12]. در این مقاله به معرفی سیکل موتور توربوفن با محفظه احتراق میان‌مرحله‌ای پرداخته می‌شود.

هدف از پژوهش حاضر، انجام مطالعات پارامتریکی موتور توربوفن دو‌محوره جریان مخلوط‌نشده برای هواپیمای سبک ۶ نفره و به‌دست آوردن منحنی‌های عملکرد موتور و در نهایت مدل‌سازی ریاضی عملکرد خارج از طرح موتور مذکور با استفاده از روش حلقه‌های متوالی تودرتو می‌باشد. از آنجاکه مدل‌سازی ریاضی عملکرد خارج از طرح موتور توربوفن پیچیده می‌باشد، لذا ابتدا به بررسی عملکرد توربین گاز تک‌محور برای تولید قدرت محوری و سپس موتور توربوجت تک‌محور و دو‌محور پرداخته می‌شود و در پایان مدل‌سازی موتور توربوفن دو‌محوره جریان مخلوط‌نشده ارائه می‌گردد. این پژوهش در ادامه مطالعات گذشته می‌باشد که نتایج انتخاب‌های طراحی را نسبت به مصرف سوخت ویژه و تراست ویژه تحت بررسی قرار داده‌اند.

می شود [13].

#### فرضیات

- در تجزیه و تحلیل پارامتریک، سیکل ایده آل فرض می شود.
- سیال عامل داخل موتور گاز کامل کالریک فرض می شود و از رطوبت موجود در هوا صرف نظر می شود.
- جریان در طول کمپرسور، توربین و نازل دائمی فرض می شود.
- نسبت گرمای ویژه، در قسمت های سرد (ورودی هوا، داکت کنارگذر و کمپرسور) و گرم (محفظه احتراق، توربین و نازل) موتور به ترتیب برابر با  $1/4$  و  $1/33$  در نظر گرفته می شوند.
- راندمان پلی تروپیک در کمپرسور، توربین و نازل ثابت می باشد.
- جریان سیال داخل ورودی هوا و نازل موتور به صورت آدیاباتیک در نظر گرفته می شود.

#### شبیه سازی موتور در نقطه طراحی

به منظور شبیه سازی عملکرد موتور توربوفن در نقطه طراحی در مرحله نخست باید روابط ترمودینامیکی مورد نیاز از قبیل جریان آزاد، ورودی هوا، کمپرسور، محفظه احتراق اصلی، توربین، محفظه احتراق ثانویه، نازل و پارامترهای عملکردی موتور استخراج شود تا مدل ریاضی موتور کامل گردد [7]. در این مقاله به منظور سهولت در انجام شبیه سازی عملکرد موتور توربوفن، موتور براساس محل قرارگیری اجزای اصلی اش شماره گذاری می شود (جدول ۱). در مراجع مختلف از شماره گذاری های دل خواه در این امر استفاده می شود. در این پژوهش سعی شده است که از استاندارد آ آر پی ۷۵۵ آ (ARP 755A) استفاده گردد که استاندارد جهانی شماره گذاری موتورهای توربینی است [8].

**تعریف مسئله و انتخاب نوع موتور.** در طراحی هواپیما انتخاب نوع موتور و سپس طراحی آن از اهمیت زیادی برخوردار است. انواع موتورهای مختلف در حوزه ای از مأموریت ها می توانند مفید و اقتصادی باشند؛ لذا براساس مأموریت اصلی هواپیما بایستی اقدام به انتخاب یک نوع موتور نمود، سپس در زمینه طراحی و استخراج پارامترهای عملکردی آن اقدام کرد.

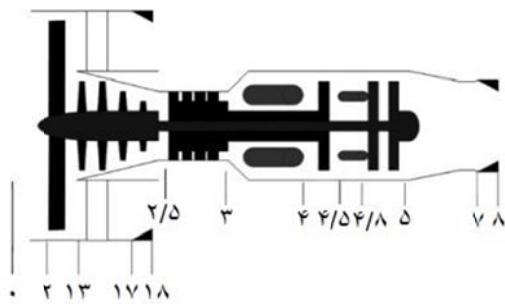
**مدل سازی ریاضی موتور.** این روش، روشی مطمئن، کم هزینه و سریع برای پیش بینی عملکرد خارج از طرح موتور می باشد. روش مدل سازی ریاضی، عملکرد خارج از طرح موتور را براساس عملکرد مستقل اجزای تشکیل دهنده آن و با در نظر گرفتن تأثیر متقابل اجزا بر عملکرد یکدیگر، پیش بینی می کند. با توجه به فقدان اطلاعات کافی در مورد عملکرد اجزای موتور در مرحله مقدماتی، عملکرد اجزا را می بایست با تکیه بر تجربیات قبلی و در صورت لزوم توسط آزمایش های عملی تخمین زد. درحقیقت تعداد زیاد پارامترهای ترمودینامیکی اجزا و وابستگی عملکردی آنها با یکدیگر سبب می شود که مدل سازی ریاضی موتور منجر به یک دستگاه معادلات غیرخطی شود، لذا دو روش کلی زیر برای حل دستگاه معادلات موجود می باشد:

۱- روش حلقه های متوالی تودرتو.

۲- روش آزمون و خطای ماتریسی.

در روش اول معادلات عملکرد اجزای موتور با استفاده از حلقه های محاسباتی تودرتو حل می شود. درحالی که در روش دوم دستگاه معادلات غیرخطی به طور هم زمان حل می گردد؛ اما در هر دو روش از آزمون و خطا استفاده می شود.

در شبیه سازی پژوهش حاضر، موتور در دوره های مختلف بررسی می شود و میزان تغییرات تراست و مصرف سوخت ویژه را در دوره های مختلف با کمترین خطا نشان می دهد و همین امر منجر به متمایز شدن آن



شکل ۲ ایستگاه‌های مختلف موتور توربوفن با محفظه احتراق ثانویه [15]

در شکل (۱) شماره‌گذاری مربوط به حالتی است که موتور بدون محفظه احتراق ثانویه لحاظ شده است و همان‌طوری که در شکل (۲) مشاهده می‌شود محفظه احتراق ثانویه در بین توربین‌های کم‌فشار و پرفشار قرار دارد و هوای خروجی از توربین پرفشار به‌طور مجدد در آن داغ می‌شود و سپس وارد توربین کم‌فشار می‌شود که این امر متجر به افزایش کار خروجی مخصوص توربین کم‌فشار می‌گردد و به این ترتیب تراست ویژه افزایش می‌یابد.

### معادلات حاکم بر فن و کمپرسور

سیال با دمای سکون و فشار سکون وارد فن می‌شود. با بهره‌گیری از رابطه‌های (۱ و ۲)، متغیرهای ورودی و خروجی محاسبه می‌شود. با دانستن نسبت فشار فن، فشار سکون خروجی فن به‌دست می‌آید [16].

$$\pi_f = \frac{P_{02}}{P_{01}} \quad (1)$$

$$P_{02} = \pi_f P_{01} \quad (2)$$

با استفاده از روابط آیزوتروپیک و مشخص بودن نسبت فشار فن، اختلاف دمای دو طرف فن از طریق رابطه (۳) محاسبه می‌شود:

$$\left(\frac{T_{02}}{T_{01}}\right) = \left(\frac{P_{02}}{P_{01}}\right)^{\frac{n-1}{n}} \quad (3)$$

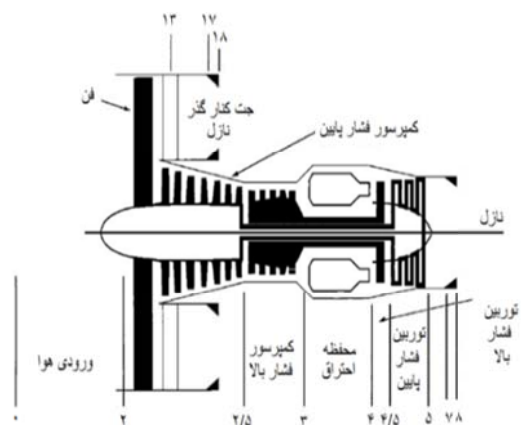
با دانستن نسبت فشار کمپرسور و روابط آیزوتروپیک می‌توان فشار سکون و دمای سکون خروجی از کمپرسور را با توجه به رابطه (۴) محاسبه نمود:

$$T_{03} = T_{02} \left(\frac{P_{03}}{P_{02}}\right)^{\frac{n-1}{n}} \quad (4)$$

در صورتی که فرض  $(P_{02}/P_a) > (P_{02}/P_c)$  برقرار باشد، در نتیجه این شرایط سیال از کانال عبور می‌کند و

جدول ۱ شماره‌گذاری موتور توربوفن با محفظه احتراق ثانویه

ردیف	شماره	مفهوم
۱	۰	شرایط جریان آزاد
۲	۲	ابتدای ورودی هوا
۳	۱۳	ورودی کمپرسور کم فشار
۴	۱۷	ورودی فن نازل
۵	۱۸	خروجی فن نازل
۶	۲/۵	ورودی کمپرسور پرفشار
۷	۳	ورودی محفظه احتراق اصلی
۸	۴	ورودی توربین پرفشار
۹	۴/۵	ورودی محفظه احتراق ثانویه
۱۰	۴/۸	ورودی توربین کم‌فشار
۱۱	۵	خروجی توربین کم‌فشار
۱۲	۷	ورودی نازل هسته موتور
۱۳	۸	خروجی نازل هسته موتور



شکل ۱ ایستگاه‌های مختلف موتور توربوفن بدون محفظه احتراق ثانویه [14]

هوای محفظه احتراق را محاسبه نمود. سیال با دمای سکون و فشار سکون وارد محفظه احتراق می شود و با بهره گیری از رابطه (۹) و بر مبنای متغیرهای ورودی و متغیرهای خروجی محاسبه می شود. با لحاظ نمودن افت فشار نسبی فشار سکون در محفظه احتراق که ناشی از مسائلی چون اختلاط و نیروی پسای مسیر سیال می باشد، داریم:

$$P_{04} = P_{03}(1 - \Delta P_b) \quad (9)$$

از طرفی با لحاظ نمودن میزان افزایش دمای سکون در محفظه احتراق، با توجه به رابطه (۱۰) دمای سکون خروجی از محفظه به دست می آید:

$$T_{04} = T_{03} + \Delta T_{0b} \quad (10)$$

$$f = \frac{\dot{m}_f}{\dot{m}_a} = \frac{(C_{Pg}T_{04} - C_{Pa}T_{03})}{(h_{PR}\eta_b - C_{Pg}T_{04})} \quad (11)$$

با محاسبه اختلاف درجه حرارت محفظه احتراق و همچنین درجه حرارت ورودی به محفظه احتراق و با مشخص بودن ارزش حرارتی سوخت مورد استفاده می توان نسبت جرم سوخت به هوا را به دست آورد (رابطه ۱۱).

**توربین.** رابطه های (۱۲) و (۱۳) بیان می دارد که با توجه به مقادیر محاسبه شده، درجه حرارت در ورودی و خروجی از هر یک از کمپرسورها می توان کار مورد نیاز برای هر یک از توربین های کم فشار و پرفشار را محاسبه نمود:

$$T_{04} - T_{04.5} = \frac{C_{Pa}}{(\eta_m C_{Pg})(T_{03} - T_{02})} \quad (12)$$

$$T_{05} - T_{04.5} = \frac{(\beta + 1)C_{Pa}}{(\eta_m C_{Pg})(T_{02} - T_0)} \quad (13)$$

انبساط جریان درون نازل تا فشار اتمسفر، رخ می دهد. با استفاده از روابط آیزونتروپیک می توان افت درجه حرارت نازل داکت کنارگذر را طبق رابطه (۵) محاسبه نمود:

$$P_{18} = P_a \rightarrow T_{02} - T_{018} = \eta_j T_{02} \left[ 1 - \left( \frac{1}{\left( \frac{P_{02}}{P_a} \right)} \right)^{\frac{\gamma-1}{\gamma}} \right] \quad (5)$$

پس از محاسبه افت درجه حرارت نازل داکت کنارگذر می توان سرعت خروجی هوا از داکت کنارگذر را به دست آورد (رابطه ۶).

$$C_g = (2C_p(T_{02} - T_{08}))^{0.5} \quad (6)$$

$$\dot{m}_c = \frac{\dot{m}_\beta}{\beta + 1} \quad (7)$$

رابطه (۷) بیان می کند که با مشخص شدن سرعت خروجی داکت کنارگذر و معلوم بودن دبی جرمی هوای ورودی به موتور و نسبت جت کنارگذر می توان دبی جرمی هوای ورودی به داکت کنارگذر را محاسبه نمود:

پس از تعیین دبی ورودی به داکت کنارگذر و سرعت خروجی هوا از داکت کنارگذر با توجه به رابطه (۸) می توان تراست ناشی از فن را محاسبه نمود که در اصطلاح به تراست سرد معروف است:

$$F_c = \dot{m}_c C_{18} \quad (8)$$

پس از مشخص شدن تراست ناشی از فن، تراست ناشی از موتور محاسبه می شود.

**محفظة احتراق.** با مشخص بودن افت فشار کل محفظه، راندمان حرارتی محفظه و دمای ورودی به توربین می توان فشار کل خروجی و نسبت سوخت به

$$\dot{m}_h = \frac{\dot{m}}{(\beta + 1)} \quad (19)$$

رابطه (۲۰) بیان می‌کند که با به‌دست آمدن دبی ورودی به هسته موتور و سرعت هوای خروجی از نازل می‌توان تراست ناشی از هسته موتور را محاسبه نمود که در اصطلاح به تراست گرم معروف است:

$$F_h = \dot{m}_h C_7 \quad (20)$$

بعد از محاسبه متغیرهای ورودی و خروجی جریان در نازل، نیروی پیشران و مصرف سوخت ویژه محاسبه می‌شود. نیروی پیشران کلی در موتور توربوفن از مجموع تراست سرد و گرم به‌دست می‌آید. همچنین نیروی پیشران با اعمال قانون بقای اندازه حرکت بر حجم معیار پیرامون موتور به شکل رابطه (۲۱) به‌دست می‌آید:

$$F_t = (\dot{m}_c C_{jc} + \dot{m}_h C_{jh}) - \dot{m} C_a + A_8 (P_8 - P_A) + A_7 (P_7 - P_A) \quad (21)$$

$$S.F.C = \frac{(\dot{m}_h f)}{F_t} \quad (22)$$

با تقسیم دبی جرمی سوخت بر نیروی پیشران، مصرف سوخت ویژه باتوجه به رابطه (۲۲) به‌دست می‌آید.

### مدلسازی

در یک آزمایشگاه استاندارد کمپرسور، به‌دست آوردن منحنی‌های عملکرد مربوط به یک کمپرسور عملیاتی پرهزینه است. به‌منظور به‌دست آوردن این منحنی‌های مدل‌سازی، باید عملکرد نقطه طراحی یک کمپرسور واقعی و نیز منحنی‌های استاندارد در دسترس باشند. سپس می‌توان ضرایب مقیاس را از روش پیش‌گفته، به‌دست آورد. در نهایت مشخصه عملکردی کمپرسور

در ادامه فشارهای خروجی از هر یک از توربین‌ها براساس روابط آیزوتروپیک (۱۴ و ۱۵) محاسبه می‌شوند:

$$\left(\frac{P_{04}}{P_{4.5}}\right) = \left(\frac{T_{04}}{T_{4.5}}\right)^{\frac{n}{n-1}} \quad (14)$$

$$\left(\frac{P_{04.5}}{P_{05}}\right) = \left(\frac{T_{04.5}}{T_{05}}\right)^{\frac{n}{n-1}} \quad (15)$$

گام بعدی محاسبه فشار خروجی از توربین کم‌فشار می‌باشد (رابطه ۱۶).

$$P_{04.5} = \frac{P_{04}}{\left(\frac{P_{04}}{P_{4.5}}\right)\left(\frac{P_{05}}{P_{04.5}}\right)^{\frac{1}{\gamma}}} \quad (16)$$

فرض می‌شود:  $(P_{06}/P_c) > (P_{06}/P_a)$ ، بنابراین در این شرایط سیال از کانال عبور می‌کند و انبساط جریان درون نازل تا فشار اتمسفر، رخ می‌دهد. رابطه (۱۷) نشان می‌دهد با استفاده از روابط آیزوتروپیک می‌توان افت درجه حرارت نازل داکت کنارگذر را محاسبه نمود:

$$P_7 = P_a \rightarrow T_{05} - T_{07} = \eta_j T_{05} \left[ 1 - \left( \frac{1}{\left( \frac{P_{05}}{P_a} \right)^{\frac{\gamma-1}{\gamma}}} \right) \right] \quad (17)$$

پس از محاسبه افت درجه حرارت نازل خروجی باتوجه به رابطه (۱۸) می‌توان سرعت هوای خروجی از نازل را محاسبه نمود:

$$C_7 = (2C_p(T_{06} - T_{07}))^{0.5} \rightarrow \quad (18)$$

با مشخص شدن سرعت هوای خروجی از نازل و معلوم بودن دبی جرمی هوای ورودی به موتور و نسبت جت کنارگذر می‌توان دبی جرمی هوای ورودی به هسته موتور را با استفاده از رابطه (۱۹) محاسبه نمود:

جرم می‌باشد. هر دو جزء متصل شده به یکدیگر با استفاده از یک شفت دارای رابطه سازگاری دور دورانی و سازگاری کار می‌باشند. شماره گذاری این موتور مطابق با شکل‌های (۱ و ۲) می‌باشد. رابطه سازگاری جرم بین کمپرسور و فن مطابق با رابطه (۲۹) می‌باشد.

$$\frac{\dot{m}\sqrt{T_{02}}}{P_{02}} = \frac{\dot{m}_h\sqrt{T_{013}}}{P_{013}} \times \frac{P_{013}}{P_{02}} \times \sqrt{\frac{T_{02}}{T_{013}}} \times \frac{\dot{m}}{\dot{m}_h} \quad (29)$$

به دلیل ارتباط فن با توربین کم فشار از طریق شفت رابطه سازگاری دور دورانی و همچنین سازگاری کار میان آنها به ترتیب به صورت رابطه‌های (۳۰ و ۳۱) بیان می‌شود.

$$\frac{N_L}{\sqrt{T_{02}}} = \frac{N_L}{\sqrt{T_{045}}} \sqrt{\frac{T_{045}}{T_{02}}} \quad (30)$$

$$(\dot{m}_c + \dot{m}_h)c_{pa}(T_{013} - T_{02}) = \eta_{mL}(\dot{m}_h + \dot{m}_f)c_{pg}(T_{04.5} - T_{05}) \quad (31)$$

از طرف دیگر، کمپرسور نیز با توربین پرفشار از طریق شفت پرفشار ارتباط دارد و بنابراین روابط سازگاری دور دورانی و کار میان آنها به صورت رابطه‌های (۳۲ و ۳۳) ارائه می‌شود.

$$\frac{N_H}{\sqrt{T_{013}}} = \frac{N_H}{\sqrt{T_{04}}} \sqrt{\frac{T_{04}}{T_{013}}} \quad (32)$$

$$\dot{m}_h c_{pa}(T_{03} - T_{013}) = \eta_{mH}(\dot{m}_h + \dot{m}_f)c_{pg}(T_{04} - T_{04.5}) \quad (33)$$

سازگاری جرم بین کمپرسور و توربین پرفشار به صورت رابطه (۳۴) می‌باشد.

$$\frac{\dot{m}_h\sqrt{T_{013}}}{P_{013}} = \frac{\dot{m}_h\sqrt{T_{04}}}{P_{04}} \times \frac{P_{04}}{P_{013}} \times \sqrt{\frac{T_{013}}{T_{04}}} \quad (34)$$

به دست می‌آید. مشخصه‌ها در نقطه طراحی به صورت  $pr_d$ ،  $mp_d$  و  $etha_d$  در نظر گرفته می‌شوند. سپس با استفاده از منحنی‌هایی که پارامترهای بهینه را در دورهای بدون بعد نمایش می‌دهند و نیز معادله‌های (۲۵-۲۳)، مقادیر  $pr_d$ ،  $mp_d$  و  $etha_d$  تخمین زده می‌شوند:

$$\frac{mp_{dn}}{mp_d} = f(n) \Rightarrow mp_{dn} = f(n) mp_d \quad (23)$$

$$\frac{pr_{dn}^{-1}}{pr_d^{-1}} = g(n) \Rightarrow pr_{dn} = g(n) (pr_d^{-1}) + 1 \quad (24)$$

$$\frac{etha_{dn}}{etha_d} = h(n) \Rightarrow etha_{dn} = h(n) etha_d \quad (25)$$

در نهایت با به کار بردن معادله‌های (۲۸-۲۶)، مقادیر  $pr$ ،  $mp$  و  $etha$  محاسبه می‌شوند.

$$mp = \left(\frac{mp}{mp_{dn}}\right)_b \cdot mp_{dn} \quad (26)$$

$$mp = \left(\frac{mp}{f(n)mp_d}\right)_b \cdot f(n) mp_d = (mp)_b \frac{mp_d}{(mp_d)_b}$$

$$pr = \left(\frac{pr}{pr_{dn}}\right)_b \cdot pr_{dn} \quad (27)$$

$$pr = \left(\frac{pr}{g(n)(pr_d^{-1})+1}\right)_b \cdot g(n)(pr_d^{-1})+1$$

$$pr = (pr)_b \cdot \frac{g(n)(pr_d^{-1})+1}{g(n)((pr_d)_b^{-1})+1}$$

$$etha = \left(\frac{etha}{etha_{dn}}\right)_b \cdot etha_{dn}$$

$$etha = \left(\frac{etha}{h(n)etha_d}\right)_b \cdot h(n) etha_d = (etha)_b \quad (28)$$

### شبیه سازی عملکرد خارج از طرح موتور

#### توربو فن دوماحوره جریان مخلوط نشده

در این بخش روابط مورد نیاز به منظور شبیه سازی موتور مذکور ارائه می‌شود. نکته مورد توجه این است که هر جزء با جزء بعدی خود دارای رابطه سازگاری



به‌دست‌آمده از منحنی‌های عملکرد در مراحل قبل، می‌توان نسبت  $T_{013}/T_{02}$  را با بهره‌گیری از رابطه (۳۹) به‌دست آورد.

$$\frac{T_{013}}{T_{02}} = 1 + \frac{1}{\eta_f} \left[ \left( \frac{P_{013}}{P_{02}} \right)^{\frac{\gamma_a - 1}{\gamma_a}} - 1 \right] \quad (39)$$

۴- در این مرحله یک دور مشخص برای کمپرسور انتخاب می‌شود.

۵- در دور انتخاب‌شده برای کمپرسور در مرحله قبل، یک نقطه تعیین می‌شود و با استفاده از منحنی‌های عملکرد کمپرسور می‌توان نسبت فشار، راندمان و دبی جرمی کمپرسور را به‌دست آورد.

۶- اکنون می‌توان با استفاده از رابطه سازگاری جرم، میان فن و کمپرسور در رابطه‌های (۴۰ و ۴۱)، نسبت جت کنارگذر را به‌صورت رابطه (۴۲) محاسبه نمود.

$$\frac{\dot{m}\sqrt{T_{02}}}{P_{02}} = \frac{\dot{m}_h\sqrt{T_{013}}}{P_{013}} \times \frac{P_{013}}{P_{02}} \times \sqrt{\frac{T_{02}}{T_{013}}} \times \frac{\dot{m}}{\dot{m}_h} \quad (40)$$

$$\frac{\dot{m}}{\dot{m}_h} = 1 + \beta \quad (41)$$

$$\beta = -1 + \frac{\frac{\dot{m}_h\sqrt{T_{02}}}{P_{02}}}{\frac{\dot{m}_h\sqrt{T_{013}}}{P_{013}} \times \frac{P_{013}}{P_{02}} \times \sqrt{\frac{T_{02}}{T_{013}}}} \quad (42)$$

۷- در این مرحله و با استفاده از منحنی عملکردی توربین، نسبت فشاری برای توربین پرفشار حدس زده می‌شود و سپس دبی جرمی مربوط به آن از نمودار مربوط استخراج می‌شود.

۸- در مقاله حاضر به‌منظور کاهش حلقه‌های محاسباتی و در نتیجه کاهش خطاهای عددی، راندمان توربین، مقداری ثابت در نظر گرفته شده است. اکنون با استفاده از رابطه راندمان توربین پرفشار، می‌توان نسبت  $T_{04.5}/T_{04}$  را در توربین فوق‌الذکر با توجه به رابطه‌های (۴۳ و ۴۴) به‌دست آورد.

سازگاری جرم بین توربین کم‌فشار و پرفشار به‌صورت رابطه (۳۵) محاسبه می‌شود.

$$\frac{\dot{m}_h\sqrt{T_{04.5}}}{P_{045}} = \frac{\dot{m}_h\sqrt{T_{04}}}{P_{04}} \times \frac{P_{04}}{P_{04.5}} \times \sqrt{\frac{T_{04.5}}{T_{04}}} \quad (35)$$

همچنین رابطه سازگاری جرم را می‌توان بین توربین کم‌فشار و نازل هسته موتور بیان نمود که به‌صورت رابطه (۳۶) می‌باشد.

$$\frac{\dot{m}_h\sqrt{T_{05}}}{P_{05}} = \frac{\dot{m}_h\sqrt{T_{04.5}}}{P_{045}} \times \frac{P_{04.5}}{P_{05}} \times \sqrt{\frac{T_{05}}{T_{04.5}}} \quad (36)$$

و در انتها می‌توان سازگاری جرم را بین فن و نازل فن به‌صورت رابطه (۳۷) محاسبه نمود:

$$\frac{\dot{m}\sqrt{T_{02}}}{P_{02}} = \frac{\dot{m}_c\sqrt{T_{017}}}{P_{017}} \times \frac{P_{017}}{P_{02}} \times \sqrt{\frac{T_{02}}{T_{017}}} \times \frac{\dot{m}}{\dot{m}_c} \quad (37)$$

روند محاسباتی شبیه‌سازی عملکرد موتور توربوفن جریان مخلوط‌نشده دوماحوره به‌صورت زیر می‌باشد:

۱- ابتدا یک دور مشخص برای فن و با استفاده از منحنی عملکرد مربوط به آن انتخاب می‌شود.

۲- بر روی دور انتخاب‌شده و با استفاده از منحنی‌های عملکرد فن برای یک نقطه مشخص مقدارهای  $\dot{m}\sqrt{T_{02}}/P_{02}$ ،  $\eta_f$  و  $P_{013}/P_{02}$  استخراج می‌شود. اکنون

با استفاده از راندمان فن به‌دست‌آمده از این مرحله، می‌توان نسبت اختلاف دمای ورودی و خروجی به دمای ورودی فن را از رابطه (۳۸) محاسبه نمود.

$$\frac{T_{013} - T_{02}}{T_{02}} = \frac{1}{\eta_f} \left[ \left( \frac{P_{013}}{P_{02}} \right)^{\frac{\gamma_a - 1}{\gamma_a}} - 1 \right] \quad (38)$$

۳- با استفاده از رابطه (۳۸) که مربوط به راندمان فن می‌باشد و با استفاده از مقادیر نسبت فشار و راندمان

توربین در نمودار عملکرد، صورت می پذیرد و مراحل قبلی نیز تکرار می شود.

۱۲- با استفاده از رابطه سازگاری جریان میان توربین پرفشار و کم فشار می توان نسبت  $T_{04}/P_{04.5}$  را با استفاده از رابطه (۵۰) محاسبه نمود.

$$\frac{\dot{m}_h \sqrt{T_{04.5}}}{P_{04.5}} = \frac{\dot{m}_h \sqrt{T_{04}}}{P_{04}} \times \frac{P_{04}}{P_{04.5}} \times \sqrt{\frac{T_{04.5}}{T_{04}}} \quad (50)$$

اکنون با استفاده از مشخصه توربین کم فشار به دست آمده در بخش قبل، می توان نسبت فشار توربین مذکور را به دست آورد و سپس با استفاده از راندمان توربین و رابطه (۵۱) نسبت  $T_{05}/T_{04.5}$  را محاسبه نمود.

$$\frac{T_{05}}{T_{04.5}} = 1 - \eta_{th} \left[ 1 - \left( \frac{P_{04}}{P_{05}} \right)^{\frac{\gamma_t - 1}{\gamma_t}} \right] \quad (51)$$

۱۳- با استفاده از سازگاری توان میان فن و توربین کم فشار و با استفاده از رابطه (۵۵) می توان نسبت  $T_{05}/T_{04.5}$  را محاسبه نمود.

$$\dot{m} c_{pa} (T_{013} - T_{02}) = \eta_{mL} (\dot{m}_h + \dot{m}_f) c_{pg} (T_{04.5} - T_{05}) \quad (52)$$

و با صرف نظر از دبی جرمی سوخت در رابطه (۵۲) خواهیم داشت:

$$(1 + \beta) c_{pa} \left( \frac{T_{013} - T_{02}}{T_{02}} \right) = \eta_{mL} c_{pg} \left( \frac{T_{04.5} - T_{05}}{T_{04.5}} \right) \times \frac{T_{04.5}}{T_{02}} \quad (53)$$

که نسبت دمای ورودی توربین کم فشار به ورودی فن از رابطه (۵۳) به دست می آید:

$$\frac{T_{04.5}}{T_{02}} = \frac{T_{04.5}}{T_{04}} \times \frac{T_{04}}{T_{013}} \times \frac{T_{013}}{T_{02}} \quad (54)$$

و در نهایت با عنایت به رابطه (۵۴)، رابطه (۵۵) حاصل می شود:

$$\frac{T_{04} - T_{04.5}}{T_{04}} = \eta_{th} \left[ 1 - \left( \frac{P_{04}}{P_{04.5}} \right)^{\frac{\gamma_t - 1}{\gamma_t}} \right] \quad (43)$$

$$\frac{T_{04.5}}{T_{04}} = 1 - \eta_{th} \left[ 1 - \left( \frac{P_{04}}{P_{04.5}} \right)^{\frac{\gamma_t - 1}{\gamma_t}} \right] \quad (44)$$

۹- در این مرحله با استفاده از رابطه سازگاری جرم بین کمپرسور و توربین پرفشار می توان نسبت  $T_{04}/T_{013}$  در رابطه (۴۶) را از رابطه (۴۵) محاسبه نمود.

$$\frac{\dot{m}_h \sqrt{T_{013}}}{P_{013}} = \frac{\dot{m}_h \sqrt{T_{04}}}{P_{04}} \times \frac{P_{04}}{P_{013}} \times \sqrt{\frac{T_{013}}{T_{04}}} \quad (45)$$

$$\frac{T_{04}}{T_{013}} = \sqrt{\frac{\frac{\dot{m}_h \sqrt{T_{04}}}{P_{04}} P_{04}}{\frac{\dot{m}_h \sqrt{T_{013}}}{P_{013}} P_{03}}} \quad (46)$$

۱۰- با استفاده از رابطه سازگاری توان میان کمپرسور و توربین پرفشار و نیز با استفاده از مقادیر نسبت های  $(T_{03} - T_{013})/T_{013}$  و  $(T_{04} - T_{04.5})/T_{04}$  که در رابطه های (۴۷ و ۴۸) محاسبه شده است، می توان نسبت  $T_{04}/T_{013}$  را با استفاده از رابطه (۴۹) محاسبه نمود.

$$m_h c_{pa} (T_{03} - T_{013}) = \eta_{mH} (m_h + m_f) c_{pg} (T_{04} - T_{04.5}) \quad (47)$$

قابل توجه است که در رابطه (۵۹) از دبی جرمی سوخت صرف نظر شده است.

$$c_{pa} \left( \frac{T_{03} - T_{013}}{T_{013}} \right) = \eta_{mH} c_{pg} \left( \frac{T_{04} - T_{04.5}}{T_{04}} \right) \times \frac{T_{04}}{T_{013}} \quad (48)$$

$$\frac{T_{04}}{T_{013}} = \frac{\frac{T_{03} - T_{013}}{T_{013}}}{\frac{c_{pg}}{c_{pa}} \times \eta_{mH} \times \left( \frac{T_{04} - T_{04.5}}{T_{04}} \right)} \quad (49)$$

۱۱- مقادیر نسبت  $T_{04}/T_{013}$  محاسبه شده در گام های قبلی با یکدیگر مقایسه می شوند و در صورت یکسان نبودن دو مقدار، حدس دیگری برای نسبت فشار

$$\frac{\dot{m}_c \sqrt{T_{017}}}{P_{017}} = \frac{\dot{m}_c \sqrt{T_{02}}}{P_{02}} \times \frac{P_{02}}{P_{017}} \times \sqrt{\frac{T_{017}}{T_{02}}} \times \frac{\dot{m}_c}{m} \quad (59)$$

### نتایج

همان‌گونه که از جدول (۲) قابل مشاهده است، اطلاعات نقطه طراحی در شرایط ایستا مد نظر قرار می‌گیرد. البته فرض فوق به دلیل در دسترس نبودن اطلاعات نقطه طراحی موتور پی دبلیو ۶۱۵ اف در نظر گرفته شده است. شایان ذکر است که به طور معمول نقطه طراحی یک موتور توربوفن در شرایط پروازی است که در صورت در دسترس نبودن اطلاعات نقطه طراحی موتور می‌توان با اغماض از اطلاعات شرایط ایستای موتور در تحلیل نقطه طراحی استفاده نمود. همچنین در جدول (۲) توزیع دما و فشار در مقاطع مختلف موتور فوق‌الذکر آورده شده است.

به منظور تحلیل عملکرد نقطه طراحی موتور پی دبلیو ۶۱۵ اف از اطلاعات ورودی موجود در جدول (۳) بهره گرفته می‌شود.

شکل (۳) (در حالت بدون وجود محفظه احتراق ثانویه) تغییرات تراست ویژه را برحسب تغییرات نسبت فشار فن به ترتیب بر روی محورهای عمودی و افقی و برای مقادیر متفاوت نسبت جت کنارگذر نشان می‌دهد. این شکل با فرض عدد ماخ برابر صفر، نسبت فشار کمپرسور برابر ۸ و درجه حرارت ورودی به توربین پر فشار برابر ۱۱۱۸ درجه کلوین تولید شده است. همان‌گونه که در شکل مشاهده می‌شود، در یک نسبت فشار فن ثابت، با افزایش نسبت جت کنارگذر، تراست ویژه کاهش می‌یابد که این واقعیت به دلیل کاهش دبی جرمی عبوری از قسمت اصلی موتور می‌باشد. از طرف دیگر در یک نسبت جت کنارگذر معین، با افزایش نسبت فشار فن، تراست ویژه ابتدا افزایش می‌یابد و سپس به آرامی و با شیب خیلی کند شروع به کاهش می‌نماید. همچنین مقدار تراست ویژه در شرایطی که موتور در حالت پایه قرار دارد برابر ۳۱۰

$$\frac{T_{05}}{T_{04.5}} = 1 - \frac{(1 + \beta) \left( \frac{T_{013} - T_{02}}{T_{02}} \right)}{\frac{C_{pg}}{C_{pa}} \times \eta_{mL} \times \left( \frac{T_{04.5}}{T_{02}} \right)} \quad (55)$$

دو مقدار نسبت  $T_{05}/T_{04.5}$  محاسبه شده در گام‌های قبلی مورد بررسی قرار می‌گیرد تا در صورت یکسان نبودن مقادیر، به نقطه دیگری بر روی عملکرد کمپرسور بروند و مقادیر نسبت فشار، راندمان و دبی جرمی از نمودارهای مربوط استخراج شوند.

۱۴- با استفاده از رابطه سازگاری جریان میان توربین کم‌فشار و نازل هسته موتور رابطه (۵۶) استخراج می‌شود:

$$\frac{\dot{m}_h \sqrt{T_{05}}}{P_{05}} = \frac{\dot{m}_h \sqrt{T_{045}}}{P_{04.5}} \times \frac{P_{04.5}}{P_{05}} \times \sqrt{\frac{T_{05}}{T_{04.5}}} \quad (56)$$

که نسبت  $P_{04.5}/P_{05}$  از رابطه (۵۶) محاسبه شده است. ۱۵- اکنون با استفاده از رابطه (۵۷) می‌توان نسبت فشار خروجی از نازل هسته موتور را محاسبه نمود.

$$\frac{P_{05}}{P_a} = \left( \frac{P_{05}}{P_{04.5}} \right) \left( \frac{P_{04.5}}{P_{04}} \right) \left( \frac{P_{04.5}}{P_{04}} \right) \left( \frac{P_{04}}{P_{03}} \right) \left( \frac{P_{03}}{P_{013}} \right) \left( \frac{P_{013}}{P_{02}} \right) \left( \frac{P_{02}}{P_a} \right) \quad (57)$$

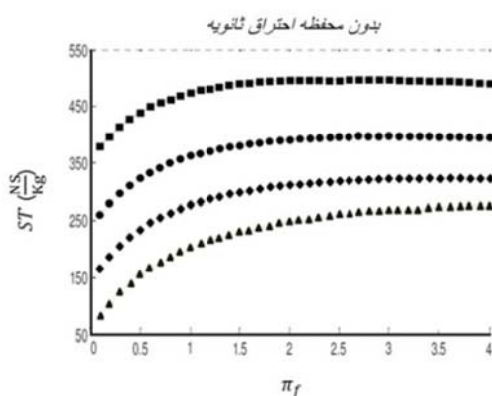
که نسبت  $P_{02}/P_a$  از رابطه (۵۸) محاسبه می‌شود.

$$\frac{P_{02}}{P_a} = \left[ 1 + \eta_i \left( \frac{\gamma - 1}{2} \right) M_a^2 \right]^{\frac{\gamma - 1}{\gamma}} \quad (58)$$

۱۶- با استفاده از نسبت فشار محاسبه شده در گام قبلی و با استفاده از نمودار عملکرد نازل، مقدار دبی جرمی به دست می‌آید. دو مقدار به دست آمده برای دبی جرمی نازل در مراحل قبل مورد مقایسه قرار می‌گیرند و در صورت یکسان نبودن مقادیر، به نقطه دیگری بر روی منحنی عملکرد می‌روند و مقادیر فشار، راندمان و دبی جرمی از نمودارهای مربوط استخراج می‌شوند. ۱۷- با استفاده از رابطه سازگاری جرم میان فن و نازل فن رابطه (۵۹) حاصل می‌شود:

جدول ۳ اطلاعات ورودی شبیه سازی نقطه طراحی موتور پی دبلو ۶۱۵ اف [12].

ردیف	پارامتر	مقدار
۱	دبی جرمی هوای ورودی	۲۰/۶
۲	راندمان پلی تروپیک کمپرسور	۰/۹۳
۳	نسبت فشار کمپرسور	۸
۴	نسبت جت کنارگذر	۲/۸
۵	نسبت فشار فن	۱/۷
۶	افت فشار محفظه احتراق	۰/۹۷
۷	دمای ورودی توربین پرفشار	۱۱۰۶
۸	دمای ورودی توربین کم فشار	۸۶۹/۷۳
۹	راندمان پلی تروپیک توربین	۰/۹۲
۱۰	راندمان آیزنتروپیک نازل	۰/۹
۱۱	راندمان مکانیکی شفت	۰/۹۹
۱۲	عدد ماخ	۰
۱۳	ارتفاع از سطح دریا	۰
۱۴	ارزش حرارتی سوخت (JP4)	۴۳۳۲۳



شکل ۳ تغییرات تراست ویژه برحسب تغییرات نسبت فشار فن و نسبت جت کنارگذر بر اساس عدد ماخ برابر صفر، نسبت فشار کمپرسور برابر ۸ و درجه حرارت ورودی به توربین پرفشار برابر ۱۱۱۸ درجه کلونین

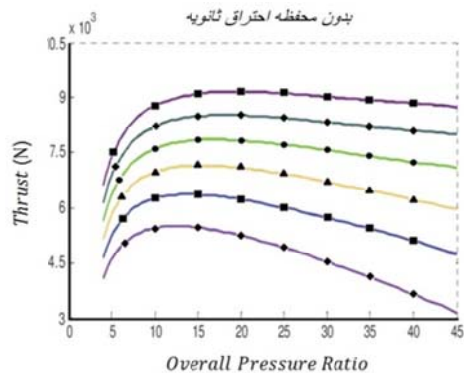
شکل (۴) (در حالت بدون وجود محفظه احتراق ثانویه) تغییرات تراست ویژه را با تغییرات عدد ماخ به ترتیب بر روی محورهای عمودی و افقی و برای مقادیر متفاوت نسبت جت کنارگذر نشان می دهد. این

و در حالت با محفظه احتراق ثانویه برابر ۳۴۰  $\frac{N.S}{kg}$  می باشد که مقدار تراست ۹/۶ درصد افزایش یافته است و همچنین به ازای افزایش ۰/۳ نسبت جت کنارگذر، تراست ویژه ۲۰ درصد کاهش خواهد داشت. اما این افت تراست زمانی بیشتر است که موتور با محفظه احتراق ثانویه کار می کند.

جدول ۲ توزیع دما و فشار در مقاطع مختلف موتور پی دبلو ۶۱۵ اف

ردیف	پارامتر	نماد	مقدار
۱	دما و فشار استاتیک جریان آزاد	$P_0, T_0$	۲۸۸/۱۵ و ۱۰۱۳۲۵
۲	دما و فشار کل ابتدای ورودی هوا	$P_{02}, T_{02}$	۲۸۸/۱۵ و ۱۰۰۳۱۰
۳	دما و فشار کل ورودی کمپرسور کم فشار	$P_{013}, T_{013}$	۳۱۴/۲۵ و ۱۱۰۹۴۴
۴	دما و فشار کل ورودی کمپرسور پرفشار	$P_{02.5}, T_{02.5}$	۱۷۰۲۲۵ و ۳۳۷/۷
۵	دما و فشار کل ورودی محفظه احتراق اصلی	$P_{03}, T_{03}$	۶۳۰/۱۷ و ۱۳۶۲۵۵۳
۶	دما و فشار کل ورودی محفظه احتراق ثانویه	$P_{04.5}, T_{04.5}$	۸۴۷/۳۸ و ۴۰۱۸۶۵
۷	دما و فشار کل ورودی توربین پرفشار	$P_{04}, T_{04}$	۱۱۱۸ و ۱۳۱۹۲۶۵
۸	دما و فشار کل ورودی توربین کم فشار بدون محفظه احتراق ثانویه	$P_{04.5}, T_{04.5}$	۸۶۹/۷۳ و ۳۵۶۹۳۷
۹	دما و فشار کل ورودی توربین کم فشار با محفظه احتراق ثانویه	$P_{04.8}, T_{04.8}$	۱۲۰۶ و ۲۷۴۷۷۲
۱۰	دما و فشار کل خروجی هسته موتور بدون محفظه احتراق ثانویه	$P_{08}, T_{08}$	۱۶۲۲۶۴ و ۶۵۵/۲
۱۱	دما و فشار کل خروجی هسته موتور با محفظه احتراق ثانویه	$P_{08}, T_{08}$	۲۵۴۵۷۶ و ۹۵۹/۲
۱۲	دما و فشار کل خروجی فن نازل	$P_{018}, T_{018}$	۱۴۰۲۶۳ و ۳۱۴

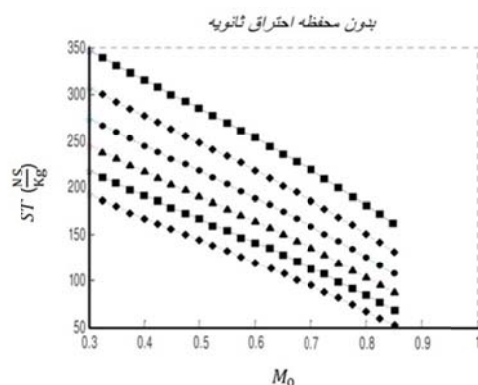
برابر ۶۳۹۴ نیوتن می‌باشد.



شکل ۵ تغییرات تراست برحسب نسبت فشار کلی و درجه حرارت ورودی به توربین پرفشار، براساس عدد ماخ برابر صفر و نسبت جت کنارگذر برابر ۲/۸

شکل (۶) (در حالت بدون وجود محفظه احتراق ثانویه) تغییرات مصرف سوخت ویژه رانش با واحد  $\frac{gr}{Kn.s}$  را برحسب تغییرات نسبت فشار فن به ترتیب بر روی محورهای عمودی و افقی و برای مقادیر متفاوت درجه حرارت ورودی به توربین پرفشار نشان می‌دهد. این شکل با فرض عدد ماخ برابر صفر، نسبت جت کنارگذر برابر ۲/۸ و نسبت فشار کمپرسور برابر ۸ تولید شده است. همان‌طور که در این شکل مشاهده می‌شود اگر محفظه احتراق ثانویه غیرفعال باشد با افزایش نسبت فشار فن، مصرف سوخت ویژه رانش کاهش می‌یابد که به دلیل افزایش دمای ورودی به محفظه احتراق می‌باشد؛ اما از یک نسبت فشار معین به بعد، با افزایش نسبت فشار سوخت ویژه رانش افزایش می‌یابد زیرا باعث افزایش دبی جرمی وارد شده به موتور می‌شود. در یک نسبت فشار معین، با افزایش دمای خروجی محفظه احتراق، مصرف سوخت ویژه رانش نیز افزایش می‌یابد و این بدین علت است که محفظه احتراق برای تولید درجه حرارت بالاتر نیاز بیشتری به سوخت دارد. همچنین مقدار مصرف

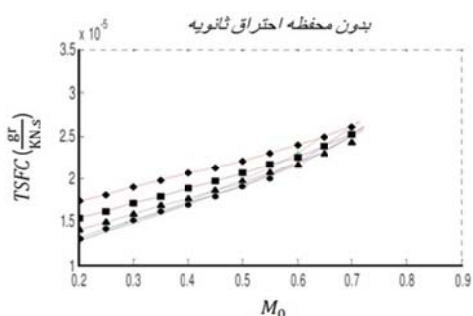
شکل با فرض نسبت فشار کمپرسور برابر ۸، نسبت فشار فن برابر ۱/۷ و درجه حرارت ورودی به توربین پرفشار برابر ۱۱۱۸ درجه کلوین تولید شده است. همان‌گونه که در این شکل مشاهده می‌شود برای یک عدد ماخ ثابت، با افزایش نسبت جت کنارگذر، تراست ویژه کاهش می‌یابد و علت آن این است که مقدار بیشتری از جریان هوا، به جای عبور از قسمت اصلی موتور و ترکیب با سوخت و ایجاد رانش، از داکت کنارگذر عبور می‌نماید. از طرف دیگر برای یک نسبت جت کنارگذر معین، افزایش عدد ماخ منجر به کاهش تراست ویژه می‌شود.



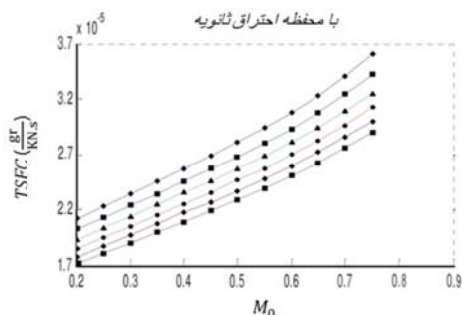
شکل ۴ تغییرات تراست ویژه برحسب تغییرات عدد ماخ و نسبت جت کنارگذر، براساس نسبت فشار کمپرسور برابر ۸، نسبت فشار فن ۱/۷ و درجه حرارت ورودی به توربین پرفشار برابر ۱۱۱۸ درجه کلوین

شکل (۵) (در حالت بدون وجود محفظه احتراق ثانویه) تغییرات نیروی تراست را برحسب تغییرات نسبت فشار کل به ترتیب بر روی محورهای عمودی و افقی و برای مقادیر متفاوت درجه حرارت ورودی به توربین پرفشار نشان می‌دهد. این شکل با فرض عدد ماخ برابر صفر و نسبت جت کنارگذر برابر ۲/۸ تولید شده است. همان‌گونه که در این شکل مشاهده می‌شود، در یک نسبت فشار معین، با افزایش دمای خروجی از محفظه احتراق، تراست افزایش می‌یابد. همچنین مقدار تراست در شرایطی که موتور در حالت پایه قرار دارد

ویژه رانش می شود.

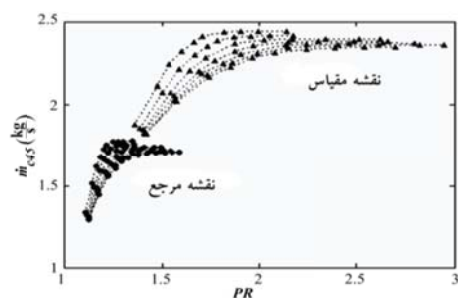


شکل ۷ تغییرات مصرف سوخت ویژه تراست برحسب تغییرات عدد ماخ و نسبت جت کنارگذر، براساس عدد ماخ برابر صفر و نسبت فشار کمپرسور برابر ۸ و نسبت فشار فن برابر ۱/۷



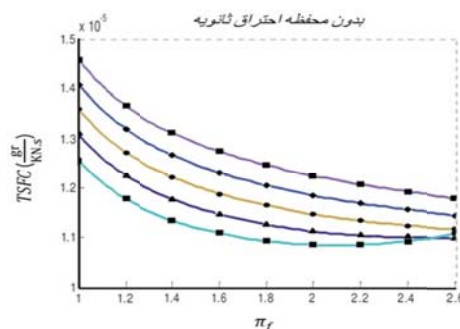
شکل ۸ تغییرات مصرف سوخت ویژه تراست برحسب تغییرات عدد ماخ و نسبت جت کنارگذر، براساس عدد ماخ برابر صفر و نسبت فشار کمپرسور برابر ۸ و نسبت فشار فن برابر ۱/۷

منحنی مشخصه توربین‌های پرفشار و کم‌فشار با استفاده از روابط موجود در معادلات (۲۸-۲۳) تولید شده است که در شکل‌های (۹ و ۱۰) قابل مشاهده است.



شکل ۹ منحنی مشخصه توربین کم‌فشار (دبی جرمی تصحیح‌شده برحسب نسبت فشار)

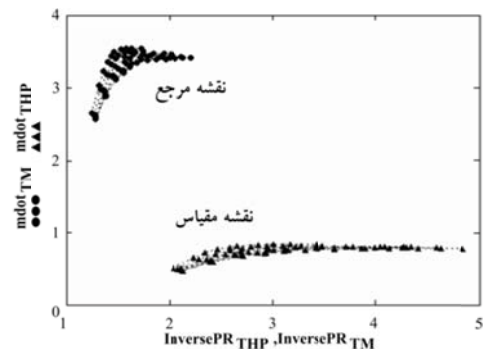
سوخت ویژه در شرایطی که موتور در حالت پایه قرار دارد برابر ۱/۱۴  $(\frac{gr}{Kn.s})$  و همچنین به ازای افزایش ۱۰۰ درجه دمای ورودی به توربین، مصرف سوخت ویژه ۴ درصد رشد خواهد داشت که این مقدار در زمانی که سیکل از محفظه احتراق ثانویه سود می‌برد، کمتر خواهد بود.



شکل ۶ تغییرات مصرف سوخت ویژه تراست برحسب تغییرات نسبت فشار فن و درجه حرارت ورودی به توربین پرفشار، براساس عدد ماخ برابر صفر و نسبت فشار کمپرسور برابر ۸ و نسبت جت کنارگذر برابر ۲/۸

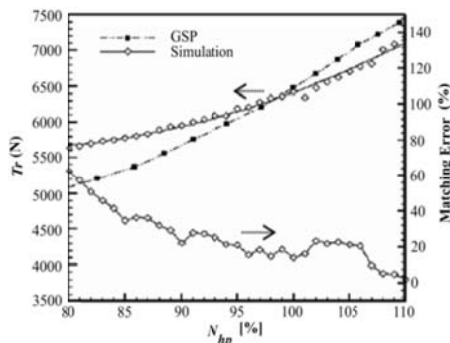
شکل‌های (۷ و ۸) (در دو حالت بدون وجود محفظه احتراق ثانویه و با وجود محفظه احتراق ثانویه) تغییرات مصرف سوخت ویژه رانش با واحد  $(\frac{gr}{Kn.s})$  را برحسب تغییرات عدد ماخ به ترتیب بر روی محورهای عمودی و افقی و برای مقادیر متفاوت نسبت جت کنارگذر نشان می‌دهد. این شکل با فرض نسبت فشار فن برابر ۱/۷، درجه حرارت ورودی به توربین پرفشار برابر ۱۱۱۸ درجه کلوین و نسبت فشار کمپرسور برابر ۸ تولید شده است. همان‌گونه که در شکل مشاهده می‌شود با افزایش عدد ماخ کاهش رانش و رانش ویژه بیشتر از افزایش مصرف سوخت می‌باشد و بنابراین با افزایش عدد ماخ، مصرف سوخت ویژه رانش افزایش می‌یابد و در یک ماخ ثابت با کاهش نسبت جت کنارگذر، دبی جرمی گذرنده از قسمت اصلی موتور افزایش می‌یابد که منجر به افزایش مصرف سوخت

در شکل‌های (۱۳ و ۱۴) مدل شبیه‌سازی شده و نرم‌افزار جی‌اس‌پی (GSP) مورد مقایسه قرار گرفته‌اند. همان‌گونه که در سمت راست شکل (۱۳) مشاهده می‌شود، معیار تطبیق (خطای محاسباتی) قرار گرفته است، که در دوره‌های پایین دارای خطای بالایی می‌باشد؛ ولی هر اندازه که دور افزایش می‌یابد، خطا کمتر می‌شود تا این‌که در دوره‌های بالای ۹۰ درصد، نشان‌دهنده این است که مدل شبیه‌سازی شده در دوره‌های بالا دارای دقت قابل قبولی است و در نقطه طراحی کمترین میزان خطا وجود دارد؛ ولی هر اندازه دور کاهش یا افزایش می‌یابد، خطای مذکور افزایش می‌یابد که به دلیل کاربرد روش مقیاس می‌باشد. شکل (۱۴) نیز دبی هوا و دبی سوخت را نشان می‌دهد که در دوره‌های بالای ۹۰ درصد از دقت خوبی برخوردار است.

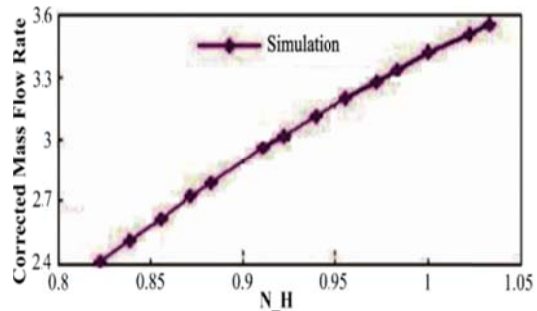


شکل ۱۰ منحنی مشخصه توربین پرفشار (دبی جرمی تصحیح‌شده بر حسب نسبت فشار)

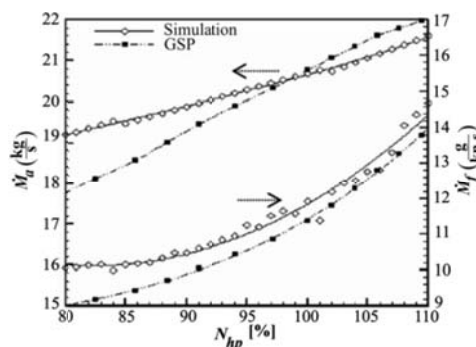
شکل (۱۱) منحنی مشخصه کمپرسور را در شرایط ارتفاع ۹۵۰۰ متری و ماخ ۰/۵۸ نشان می‌دهد. شکل‌های (۱۱ و ۱۲) توسط کد شبیه‌ساز تولید شده‌اند. شکل (۱۱) تغییرات دبی جرمی تصحیح‌شده کمپرسور بر حسب  $\text{kg/s}$  را نسبت به دور محور پرفشار نشان می‌دهد؛ حال آن‌که شکل (۱۲) تغییرات نسبت فشار کمپرسور را نسبت به دور پرفشار نمایش می‌دهد.



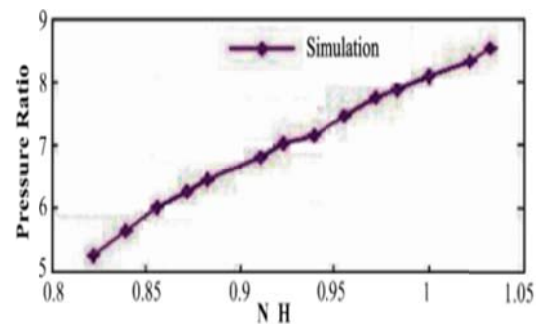
شکل ۱۳ تغییرات تراست و خطای تطبیق بر حسب دور محور فشار قوی



شکل ۱۱ تغییرات دبی جرمی اصلاح‌شده کمپرسور بر حسب تغییرات دور محور پرفشار



شکل ۱۴ تغییرات دبی هوا و سوخت بر حسب دور فشار قوی



شکل ۱۲ تغییرات نسبت فشار کمپرسور بر حسب تغییرات دور محور پرفشار

### نتیجه گیری

نتایج جدیدی که در این پژوهش به دست می آید حاکی از این است که سیکل های با محفظه احتراق میان مرحله ای در سرعت های بالاتر عملکرد بهتری نسبت به سیکل های معمولی دارند. با توجه به مطالعه های سیکل عملکردی موتور توربوفن با محفظه احتراق ثانویه می توان اشاره داشت که سیکل های دارای محفظه احتراق ثانویه نسبت به سیکل های معمولی (سیکل های بدون محفظه احتراق ثانویه) دارای تراست ویژه بالاتر و در نسبت جت کنارگذر بالا، مصرف سوخت ویژه پایین تر و آلودگی کمتری دارند و با افزایش نسبت فشار فن در آنها، تراست ویژه به طور چشم گیری نرخ صعودی و مصرف سوخت ویژه نیز روندی نزولی دارد. در واقع سیکل های مذکور می توانند موتورهایی که نسبت جت کنارگذر آنها بالا می باشند را پشتیبانی نمایند و راندمان آنها را بالا ببرند. به طور کلی این سیکل ها با کاهش دمای ورودی به توربین پرفشار باعث کاهش مصرف سوخت ویژه سیکل و همچنین افزایش تراست ویژه می شوند. سایر نتایج در جدول (۴) آورده شده است. لازم به توجه است که دمای خروجی از توربین پرفشار و دمای خروجی از محفظه احتراق ثانویه باید به درستی تعیین شده باشند.

در جدول (۵) نیز نتایج حاصل از کد شبیه ساز و نرم افزار تجاری گس ترب با یکدیگر مورد مقایسه قرار گرفته است. همان گونه که از جدول (۵) استخراج می شود؛ مقادیر خطا به جز در مقدار مصرف سوخت ویژه بسیار ناچیز است. از دلایل اختلاف در مقدار مصرف سوخت ویژه این است که در کد شبیه ساز مقادیر گرمای ویژه در تمامی طول موتور در فشار و حجم ثابت، فرض شده است که در عمل این گونه نیست. همچنین یکی از محدودیت های نرم افزار تجاری گس ترب این است که امکان شبیه سازی محفظه احتراق ثانویه در آن وجود ندارد.

جدول ۴ رابطه تراست و مصرف سوخت در دو حالت با وجود محفظه احتراق ثانویه و بدون وجود محفظه احتراق ثانویه

مصرف سوخت	تراست ویژه	
۰/۰۵۸	۳۴۰/۳۲	موتور با محفظه احتراق ثانویه
۰/۰۴۹	۳۱۰/۴۳۶	موتور بدون محفظه احتراق ثانویه

جدول ۵ محاسبه خروجی های کد شبیه ساز و نرم افزار تجاری گس ترب

خطا	نرم افزار تجاری گس ترب	کد شبیه ساز
٪ ۱/۴۸	۶۴۹۰	Thrust (N) ۶۳۹۴
٪ ۱۳/۳	۱۰/۱۳۲۶	TSFC ( $\frac{gr}{KN.S}$ ) ۱۱/۴۸
۰	۲۸۸/۱۵	$T_0$ (°K) ۲۸۸/۱۵
۰	۱۰۱۳۲۵	$P_0$ (Pa) ۱۰۱۳۲۵
۰	۲۸۸/۱۵	$T_{02}$ (°K) ۲۸۸/۱۵
۰	۱۰۰۳۱۲	$P_{02}$ (Pa) ۱۰۰۳۱۰
٪ ۰/۰۴	۳۳۹/۰۵	$T_{02.5}$ (°K) ۳۳۷/۷
٪ ۰/۱۸	۱۷۰۵۳۰	$P_{02.5}$ (Pa) ۱۷۰۲۲۵
٪ ۰/۵۴	۶۳۳/۵۹	$T_{03}$ (°K) ۶۳۰/۱۷
٪ ۰/۱۲۳	۱۳۶۴۲۴۰	$P_{03}$ (Pa) ۱۳۶۲۵۵۳
۰	۱۱۱۸	$T_{04}$ (°K) ۱۱۱۸
٪ ۰/۳۰۷	۱۳۲۳۳۱۳	$P_{04}$ (Pa) ۱۳۱۹۲۶۵
٪ ۰/۵۵۶	۸۵۲/۰۹	$T_{04.5}$ (°K) ۸۴۷/۳۸
٪ ۱/۳	۴۰۷۱۰۸	$P_{04.5}$ (Pa) ۴۰۱۸۶۵
٪ ۴/۱	۷۰۸/۲۲	$T_{05}$ (°K) ۶۸۰/۳۸
٪ ۱۰	۱۸۶۴۴۴	$P_{05}$ (Pa) ۱۶۹۳۷۵
-	-	$T_{07}$ (°K) ۶۷۱/۲۵۸
-	-	$P_{07}$ (Pa) ۱۶۷۱۰۴/۲۳
٪ ۱۴/۹	۱۸۶۴۴۴	$P_{08}$ (Pa) ۱۶۲۲۶۴
٪ ۱۵/۶۲	۷۰۸/۲۲	$T_8$ (°K) ۶۱۲/۵
-	-	$P_8$ (Pa) ۸۷۱۷۸/۱۲
-	-	$T_{017}$ (°K) ۳۲۲/۹
-	-	$P_{017}$ (Pa) ۱۴۴۴۴۶/۹۵
٪ ۱۱/۲	۳۲۷/۶۶	$T_{18}$ (°K) ۲۹۴/۶۴
٪ ۵/۱۳	۱۴۷۴۵۸	$P_{018}$ (Pa) ۱۴۰۲۶۳
-	-	$P_{18}$ (Pa) ۷۵۳۵۷/۸۴



محفظه احتراق ثانویه	$ITB$	درخاتمه موارد زیر نیز از پژوهش حاضر استنباط می‌شود:
دبی جرمی ورودی کمپرسور	$\dot{m}_{c13}$	۱- استفاده از روش حلقه‌های متوالی تودرتو دقت مناسبی را برای پیش‌بینی عملکرد موتورهای توربوفن دومحوره جریان مخلوط‌نشده در فاز طراحی و تحلیل فراهم می‌نماید.
دبی جرمی ورودی فن	$\dot{m}_{c2}$	۲- باتوجه به در دسترس نبودن منحنی مشخصه‌های موتور مذکور، استفاده از روش مقیاس‌گذاری یکی از مناسب‌ترین روش‌ها برای تخمین منحنی‌های عملکردی می‌باشد.
توربین پرفشار دبی جرمی ورودی	$\dot{m}_{c4}$	۳- مقادیر خطا در خط عملیاتی خارج از طراحی مربوط به منحنی مشخصه‌های به‌دست‌آمده و ثابت در نظر گرفتن راندمان می‌باشد.
دبی جرمی ورودی توربین کم‌فشار	$\dot{m}_{c45}$	۴- در روش مقیاس‌گذاری ضرایب ثابت هر اندازه اطلاعات نقطه طراحی موتور مورد تحلیل و منحنی‌های مرجع انتخاب‌شده به یکدیگر نزدیک‌تر باشند، خطای موجود در نتایج شبیه‌سازی کاهش می‌یابد.
دبی جرمی هوای ورودی ( $\text{kg/s}$ )	$\dot{m}_o$	
عدد ماخ	$M_o$	
دور موتور	$N$	
دور نسبی محور پرفشار	$N_{hp\ rel}$	
دور نسبی محور کم‌فشار	$N_{lp\ rel}$	
نسبت فشار کلی	$OPR$	
فشار ( $\text{Pa}$ )	$P$	
فشار سکون ( $\text{Pa}$ )	$P_o$	
رینولدز	$Re_y$	
مصرف سوخت ویژه ( $\text{kg/Nh}$ )	$S.F.C$	
تراست ویژه ( $\text{NS/kg}$ )	$ST$	
دما ( $^{\circ}\text{K}$ )	$T$	
تراست ( $N$ )	$Thrust$	
درجه حرارت ورودی به توربین ( $^{\circ}\text{K}$ )	$TIT$	
مصرف سوخت ویژه رانش ( $\text{g}^r/\text{Kn.s}$ )	$TSFC$	
دمای سکون ( $^{\circ}\text{K}$ )	$T_o$	
دمای ورودی توربین پرفشار ( $^{\circ}\text{K}$ )	$T_{o4}$	
دمای ورودی توربین کم‌فشار ( $^{\circ}\text{K}$ )	$T_{o4.5}$	
	<b>علائم یونانی</b>	
نسبت جت کنارگذر	$\beta$	
نسبت گرمای ویژه	$\gamma$	
افت فشار محفظه احتراق	$\Delta P_b$	
راندمان حرارتی محفظه احتراق	$\eta_b$	
راندمان پلی‌تروپیک کمپرسور	$\eta_c$	
راندمان آیزوتروپیک فن	$\eta_f$	
راندمان مکانیکی شفت	$\eta_m$	
راندمان آیزوتروپیک نازل	$\eta_n$	
راندمان پلی‌تروپیک توربین	$\eta_t$	
	<b>فهرست علائم</b>	
	$a$	سرعت صوت
	$C$	سرعت
	$C_p$	گرمای ویژه در فشار ثابت
	$C_{pa}$	اجزای سرد موتور
	$C_{pg}$	اجزای گرم موتور
	$f$	نسبت سوخت به هوا
	$F$	تراست ( $N$ )
	$f_b$	نسبت سوخت به هوا در محفظه احتراق اصلی
	$fitb$	نسبت سوخت به هوا در محفظه احتراق ثانویه
	$h$	آنتالپی
	$H$	ارتفاع از سطح دریا ( $m$ )
	$h_{PR}$	ارزش حرارتی سوخت ( $\text{kJ/kg}$ )

نسبت آنتالپی مجموع گازهای خروجی	$\mu$	ویسکوزیته
از محفظه احتراق اصلی به آنتالپی	$\pi_c$	نسبت فشار کمپرسور
مجموع دمای محیط	$\pi_{dmax}$	افت فشار اصطکاکی ورودی هوا
نسبت آنتالپی مجموع گازهای خروجی	$\pi_f$	نسبت فشار فن
از محفظه احتراق ثانویه به آنتالپی	$\pi_{thp}$	نسبت فشار توربین پرفشار
مجموع دمای محیط	$\pi_{tlp}$	نسبت فشار توربین کم فشار
	$\rho$	دانسیته

## مراجع

- Hamdan, Z. and Ebaid, S.Y., "Modeling and simulation of gas turbine engine for power generation", *Journal of Engineering for Gas Turbines and Power*, Vol. 128, pp. 302-311, (2014).
- Tavakolpour-Saleh, A.R., Nasib, S.A.R., Sepasyan, A. and Hashemi, S.M., "Parametric and nonparametric system identification of an experimental turbojet engine", *Aerospace Science and Technology*, Vol. 43, pp. 21-29, (2015).
- Korakianitis, T. and Wilson, D.G., "Models for Predicting the Performance of Bryton-Cycle Engines", *Journal of Engineering for Gas Turbines and Power Transactions of ASME*, Vol. 116, pp.381-388, April (1994).
- Kurzke, J. and Riegler, C., "A New Compressor Map Scaling Procedure for Preliminary Conceptual Design of Gas Turbine", *ASME Paper No. 2000-GT-0006*, pp. V001T01A006, ISBN: 978-0-7918-7854-5, May 8-11 (2000).
- Domitrovid, A., Bazijanac, E. and Stojkovic, V., "Mathematical Model For Prediction Of Single-Spool Turbojet Engine Off-Design Performance", *First Simposyum Of Explosive Materials, Weapons And Military Techonology OHRID*, September 25-28, (2002).
- Kim, J.H., Kim, T.S., Sohn, J.H. and Ro, S.T., "Comparative Analysis of Off Design Performance Characteristics of Single and Two-Shaft Turbines", *ASME Turbo Expo 2002: Power for Land, Sea, and Air*, Paper No. GT2002-30132, Vol. 2, pp. 509-516, (2002).
- Liew, K.H., Urip, E. and Yang, S.L "Parametric Cycle Analysis of a Turbofan Engine with an Interstage Turbine Burner", *Journal of Propulsion and Power*, Vol. 21, pp. 546-551, No. 3, (2005).
- Liew, K.H., Urip, E., Yang, S.L. and Siow, Y.K. "A Complete Parametric Cycle Analysis of a Turbofan With Interstage Turbine Burner", *41st Aerospace Sciences Meeting and Exhibit Reno, Nevada*, Jan 6-9 (2003).
- Sanghi, V., Lakshmanan, B.K. and Sundararajan, V., "Digital Simulator for Steady-State Performance Prediction of Military Turbofan Engine", *Journal of Propulsion and Power*, Vol. 14, pp. 74-81, (1998).
- Gobran, M.H., "Off-design performance of solar Centaur-40 gas turbine engine using Simulink", *Aerospace Science and Technology*, Vol. 2, pp. 285-298, (2013).
- Yang, C., Huang, Z., Yang, Z., Ma, X., "Analytical Off-design Characteristics of Gas Turbine-Based CCHP System", *The 7th International Conference on Applied Energy*, Vol. 75, pp. 1126-1131, March 28-31 (2015).
- Yonghong, W., "A New Method of Predicting the Performance of Gas Turbine Engines", *Journal of Engineering for Gas Turbines and Power Transactions of ASME*, Vol. 113, pp. 106-111, April (1991).

13. Kim, J.H., Kim, T.S., Sohn, J.H., Ro, S.T., "Comparative Analysis of off Design Performance Characteristics of Single and Two-Shaft Turbines", *ASME Paper*, 95-GT-334, Vol. 2, pp. 509-516, (2002).
14. Oates, G.C., "The Aerothermodynamics of Gas Turbine and Rocket Propulsion", AIAA Education Series, American Institute of Aeronautics and Astronautics, Inc., Reston, Virginia, ISBN 1-56347-241-4, pp. 285-291 (1997).
15. Gilani, S. I., Baheta, A. T., majid, M. A. A., "Thermodynamic approach to determine a gas turbine components design data and scaling method for performance map generation", *1st International Conference on Plant Equipment and Reliability (CIPER)*, Malaysia, March 27-28 ( 2008).
16. Mattingly, J.D., Heiser, W.H., Pratt, D.T., "Aircraft Engine Design", AIAA Education Series, American Institute of Aeronautics and Astronautics, Inc., Reston, Virginia, ISBN 1-56347-538-3, pp. 210-218 (2002).

